

论著 · 基础研究 doi:10.3969/j.issn.1671-8348.2018.24.003

## 沉默 DNA-PKcs 对肝癌耐药细胞 Bel7402/5-Fu 凋亡的影响\*

李大玉,余春波,朱欣婷,刘喜平,范芳,李长福<sup>△</sup>

(遵义医学院生化教研室,贵州遵义 563000)

**[摘要]** 目的 研究 DNA 依赖蛋白激酶催化亚基(DNA-PKcs)基因沉默后对肝癌耐药细胞 Bel7402/5-Fu 细胞凋亡的影响。方法 实验分为空白对照组、脂质体对照组、NC 对照组、siDNA-PKcs 实验组。采用噻唑蓝(MTT)法检测耐药细胞 Bel7402/5-Fu 的耐药性;采用阳离子脂质体法将 siDNA-PKcs 寡核苷酸片段转染 Bel7402/5-Fu 细胞;Real-time PCR 和 Western blot 分别检测细胞 DNA-PKcs mRNA 及蛋白的表达情况;倒置荧光显微镜下观察细胞形态变化(Hoechst33342 染色法);流式细胞术检测细胞凋亡情况(AnnexinV/PI 双染法);Western blot 检测 B 细胞淋巴瘤-2 相关 x 蛋白(Bax)、B 细胞淋巴瘤/白血病-x 基因长片段(Bcl-xl)蛋白的表达情况。结果 MTT 检测 Bel7402/5-Fu 细胞的半抑制浓度( $IC_{50}$ )明显增高,耐药细胞 Bel7402/5-Fu 的耐药指数为 13.13;DNA-PKcs 的 mRNA 与蛋白表达水平明显减少,设计的 siDNA-PKcs 特异序列能有效沉默细胞 DNA-PKcs 的表达;Hoechst-33342 染色检测结果显示 siDNA-PKcs 实验组细胞体积缩小、细胞核边集、呈亮蓝色;流式细胞术检测结果显示,siDNA-PKcs 实验组细胞凋亡率比其余组增加( $P<0.01$ );Western blot 检测结果显示 siDNA-PKcs 实验组 Bax 蛋白表达水平比其余组高,Bcl-xl 蛋白表达水平比其余组低( $P<0.01$ )。结论 siDNA-PKcs 能诱导肝癌耐药细胞 Bel7402/5-Fu 细胞凋亡,并能上调促凋亡蛋白 Bax 的蛋白表达水平,抑制抗凋亡蛋白 Bcl-xl 的蛋白表达水平。

**[关键词]** 肝肿瘤;药物耐受性;DNA 依赖性蛋白激酶催化亚基;肝癌耐药细胞;细胞凋亡;机制

**[中图法分类号]** R735.7

**[文献标识码]** A

**[文章编号]** 1671-8348(2018)24-3134-04

### Effect of siDNA-PKcs promoting cell apoptosis of multidrug-resistant hepatocellular carcinoma cell line Bel7402/5-Fu<sup>\*</sup>

LI Dayu, YU Chunbo, ZHU Xinting, LIU Xiping, FAN Fang, LI Changfu<sup>△</sup>

(Teaching and Researching Section of Biochemistry, Zunyi Medical College, Zunyi, Guizhou 563000 China)

**[Abstract]** Objective To study the influence of DNA dependent protein kinase catalytic subunit (DNA-PKcs) silence on cellular apoptosis of multidrug-resistant (MDR) hepatocellular carcinoma cell Bel7402/5-Fu.

**Methods** The cases were divided into the blank control group, liposomes control group, negative control (NC) group and siDNA-PKcs experimental group. The drug resistance of Bel7402/5-Fu cell line was determined by using MTT. The cationic liposome method was adopted to transfect siDNA-PKcs oligonucleotide fragment to Bel7402/5-Fu. Real-time PCR and western blot were used to detect the expression levels of DNA-PKcs mRNA and protein. The cellular morphology change was observed by the inverted fluorescence microscope (Hoechst33342 staining method). The cell apoptosis was detected by using flow-cytometry (Annexin V/P dual staining). The expression levels of cell apoptosis related proteins Bax and Bcl-xl protein were determined by western blot. **Results** The hemi-inhibitory concentration ( $IC_{50}$ ) of Bel7402/5-Fu cells detected by MTT was significantly increased. The drug resistance index of drug resistance Bel7402/5-Fu was 13.13. The expression level of DNA-PKcs mRNA was significantly decreased. The designed siDNA-PKcs specific sequence effectively silenced the expression of DNA-PKcs. The Hoechst-33342 staining detection results showed that the cellular volume was shrunk, nuclear had margination with bright blue. The flow-cytometry detection results showed that the apoptosis rate in the siDNA-PKcs experimental group was increased compared with the other groups ( $P<0.01$ ). The western blot detection results showed that the expression level of Bax protein in the siDNA-PKcs experimental group was higher than those in the other groups ( $P<0.01$ ) and the Bcl-xl protein level in

\* 基金项目:贵州省社发攻关项目[黔科合 SY(2013)3004];2016 年硕士科研启动资金[F-829]。作者简介:李大玉(1978—),实验师,硕士,主要从事肿瘤分子生物学方面的研究。<sup>△</sup> 通信作者,E-mail:lcf1976@126.com。

the experimental group was lower than those in the other groups ( $P < 0.01$ ). **Conclusion** siDNA-PKcs could induce the apoptosis of MDR hepatocellular carcinoma cells, up-regulate the expression level of apoptosis-promoting protein Bax and inhibit the expression level of antiapoptotic proteins Bcl-xl protein.

**[Key words]** liver neoplasms; drug tolerance; DNA-PKcs; drug-resistant hepatocellular carcinoma cell; apoptosis; mechanism

原发性肝癌(HCC)是临床常见的消化系统恶性肿瘤之一,临床治疗主要是包括手术、放疗、化疗、介入治疗等的综合治疗,其中化疗对HCC的治疗有着重要作用,但化疗过程中形成的多药耐药(MDR)是导致化疗失败的重要原因之一<sup>[1]</sup>。DNA依赖蛋白激酶催化亚基(DNA-PKcs)是DNA依赖蛋白激酶(DNA-PK)的催化亚单位,在细胞内有许多重要的功能和作用,包括细胞凋亡信号传导<sup>[2]</sup>、免疫细胞分化、基因重组成性监视等。前期研究显示,当沉默DNA-PKcs表达后Bel7402/5-Fu细胞P-糖蛋白(P-gp)表达下调,同时化疗敏感性增加<sup>[3]</sup>。ZHANG等<sup>[4]</sup>研究结果显示,当沉默神经胶质瘤细胞DNA-PKcs后,其化疗敏感性增加,提示DNA-PKcs对肿瘤耐药有一定关系,但其影响肝癌耐药的功能及机制还未清楚。本研究以siDNA-PKcs转染Bel7402/5-Fu肝癌耐药细胞,检测DNA-PKcs沉默后对肝癌耐药细胞Bel7402/5-Fu的凋亡及其机制的影响,探讨DNA-PKcs影响肝癌耐药的作用及机制。

## 1 材料与方法

**1.1 材料** Bel7402/5-Fu细胞购自南京凯基生物科技发展有限公司;小干涉RNA(siRNA)寡核苷酸购自上海吉玛基因生物技术有限公司;Lipofectmine<sup>TM</sup> 2000购自Invitrogen公司;Hoechst33342染色液购自上海碧云天生物技术公司;Annexin V-EGFP/PI细胞凋亡检测试剂盒购自江苏凯基生物技术有限公司;小鼠抗B细胞淋巴瘤-2相关x蛋白(Bax)、小鼠抗B细胞淋巴瘤/白血病-x基因长片段(Bcl-xl)、抗体购自美国Proteintech公司;兔抗DNA-PKcs抗体购自美国Assay biotech公司;其他试剂均为国产分析纯试剂。

## 1.2 方法

**1.2.1 细胞培养** 将Bel7402和Bel7402/5-Fu细胞培养在含10%的胎牛血清的1640培养液中,置于37℃、5%的二氧化碳孵箱中培养,观察细胞生长情况,取对数生长期细胞用于实验。

**1.2.2 分组与转染** 实验分为空白对照组、脂质体对照组、阴性siRNA对照组(NC对照组)、siDNA-PKcs(针对DNA-PKcs基因转录水平表达的siRNA)实验组。取对数生长期细胞种于培养板中,96孔板按( $8\sim10$ ) $\times 10^3$ /孔接种细胞,6孔板按( $6\sim8$ ) $\times 10^5$ /孔接种细胞,分组培养,当融合度为70%~90%时进行

转染,配制siDNA-PKcs-脂质体复合体,并加入对应孔中,培养箱内培养5 h后换液。

**1.2.3 Bel7402/5-Fu细胞耐药性检测** 培养Bel7402和Bel7402/5-Fu细胞,分别接种96孔板,按 $1\times 10^4$ /孔加入其中,培养12 h,在对应孔内分别加入浓度为0、10、20、40、80、160、320、640 mg/L的5-氟尿嘧啶(5-Fu),细胞在培养箱中再孵育48 h后,弃上清液,磷酸盐缓冲液(PBS)洗两次,然后每孔加入无血清-无抗生素培养基180 μL和20 μL噻唑蓝(MTT),培养箱内再孵育4 h后,小心吸掉上层液(切勿吸掉底部结晶),每孔加二甲基亚砜(MDSO)150 μL,振荡30 s使结晶全部溶解后,490 nm波长测定其吸光度值(A值),并计算半数抑制剂量( $IC_{50}$ )值及Bel7402/5-Fu细胞的耐药指数(耐药细胞 $IC_{50}$ /亲本细胞 $IC_{50}$ )。

**1.2.4 Hoechst33342染色法检测细胞形态学变化** 将Bel7402/5-Fu细胞接种于6孔板中,12 h后转染,用含200 mg/L 5-Fu的培养基进行培养,48 h后处理细胞,Hoechst33342染色(按试剂盒说明书操作),倒置显微镜下观察细胞形态变化并拍照。

**1.2.5 流式细胞术检测细胞凋亡** 将Bel7402/5-Fu细胞接种于6孔板,12 h后转染,用含200 mg/L 5-Fu的培养基进行培养,48 h后收集细胞,PBS洗细胞两次,用Annexin V-EGFP/PI双染(按试剂盒说明书操作),1 h内流式细胞仪检测各组细胞凋亡情况。

**1.2.6 Western blot检测DNA-PKcs、Bax、Bcl-xl蛋白表达情况** 提取各组细胞总蛋白,二喹啉甲酸法(BCA)检测定量样品蛋白水平,十二烷基硫酸钠-聚丙烯酰胺(SDS-PAGE)凝胶电泳,转膜,5%牛血清蛋白封闭1 h,分别加入小鼠抗Bax抗体(1:1 000)、小鼠抗Bcl-xl抗体(1:1 000)和兔抗DNA-PKcs抗体(1:1 000),孵育过夜(4℃),Tris缓冲生理盐水吐温(TBST)洗膜3次,10分钟/次,分别加1:1 000稀释的辣根过氧化物酶(HRP)标记的山羊抗小鼠免疫球蛋白G(IgG)、HRP标记的山羊抗兔IgG室温孵育2 h,TBST洗膜3次,10分钟/次,电化学发光(ECL)发光显色,ImageJ定量分析软件分析灰度比。

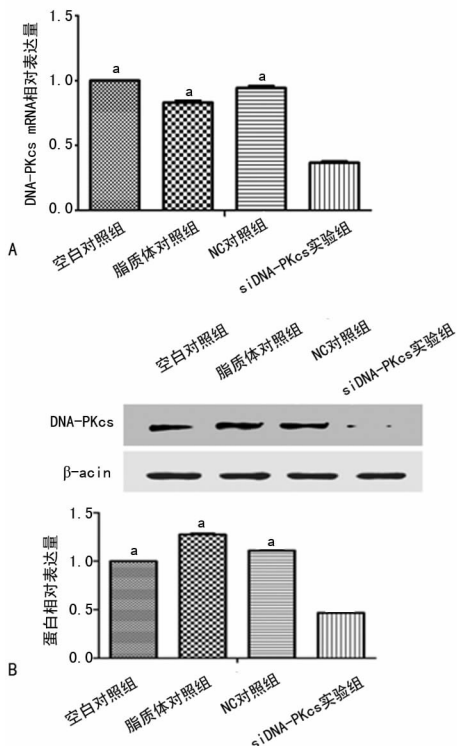
**1.2.7 Real-time PCR检测DNA-PKcs的mRNA表达情况** 使用Trizol试剂提取RNA,使用寡聚(dT)18引物(0.5 μg/μL)以总体积为10 μL的RT试剂盒进行反转录,用cDNA和SYBR Premix Ex Taq<sup>TM</sup> II在荧光PCR仪上进行实时PCR,引物为序列如下。

DNA-PKcs 正向 5'-GTG ACA AGG CAA CTG TAT GAG C-3'; 反向 5'-ACA CCG ACC ACA AAA ATC TCT T-3'。 $\beta$ -actin 正向 5'-TGA CGT GGA CAT CCG CAA AG-3'; 反向 5'-CTG GAA GGT GGA CAG CGA GG-3', 通过公式  $2^{-\Delta\Delta Ct}$  分析计算各基因的相对表达量。

**1.3 统计学处理** 采用 SPSS18.0 软件包对实验数据进行分析处理, 计量资料用  $\bar{x} \pm s$  表示, 组间均数比较采用单因素方差分析, 以  $P < 0.05$  为差异有统计学意义。

## 2 结 果

**2.1 MTT 检测细胞耐药性** 结果显示, 耐药细胞 Bel7402/5-Fu 的  $IC_{50}$  值 [(683.93 ± 9.38) mg/L] 比亲本细胞 Bel7402 的  $IC_{50}$  值 [(52.09 ± 6.46) mg/L] 高, 差异有统计学意义 ( $P < 0.01$ )。耐药细胞 Bel7402/5-Fu 的耐药指数为 13.13。



<sup>a</sup>:  $P < 0.01$ , 与 siDNA-PKcs 实验组比较。A: 实时定量 PCR 检测细胞 DNA-PKcs mRNA 水平; B: Western blot 法检测细胞 DNA-PKcs 的蛋白表达及蛋白水平的半定量分析

图 1 siDNA-PKcs 对细胞 DNA-PKcs mRNA 及蛋白表达的影响

**2.2 siDNA-PKcs 对肝癌耐药细胞 Bel7402/5-Fu DNA-PKcs 的 mRNA 及蛋白表达的影响** 当细胞 Bel7402/5-Fu 转染 siDNA-PKcs 后, 各组细胞 DNA-PKcs 的 mRNA 表达水平及蛋白表达水平较其余组明显下调 ( $P < 0.01$ ); 空白对照组、脂质体对照组、NC 对照组之间比较差异无统计学意义 ( $P > 0.05$ ), 见图 1。

**2.3 Hoechst33342 染色法检测细胞形态学变化** 细胞转染 siDNA-PKcs 后细胞体积缩小, 细胞核边集, 呈亮蓝色; 对照组细胞形态无明显变化, 细胞转染 siDNA-PKcs 后出现凋亡现象, 见图 2。

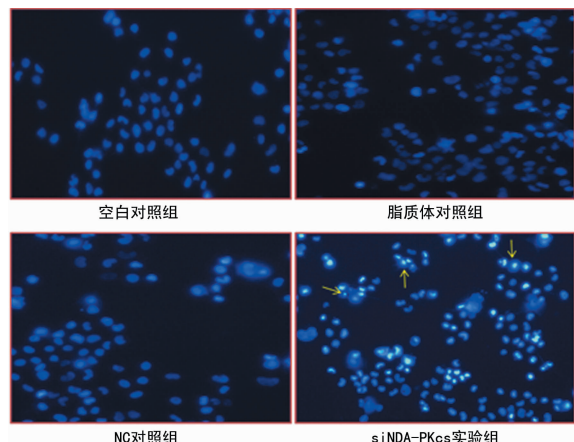
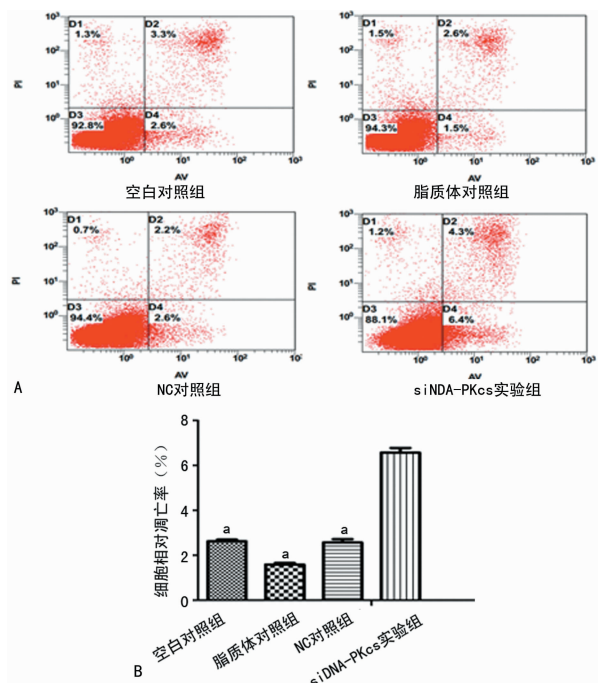


图 2 细胞凋亡形态学图片 (hoechst33342 染色,  $\times 100$ )

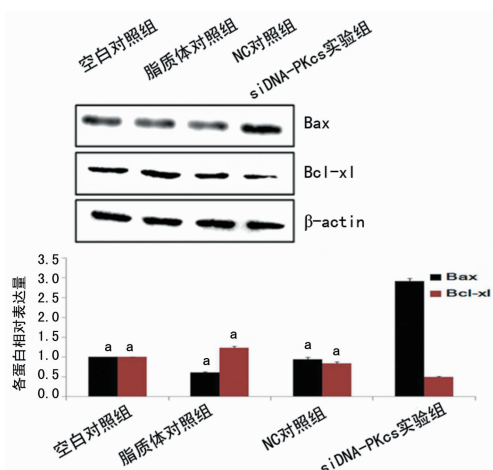
**2.4 流式细胞技术检测细胞凋亡** 当细胞转染 siDNA-PKcs 后, 经流式细胞术检测结果显示 siDNA-PKcs 实验组细胞凋亡率较其余组增加, 差异有统计学意义 ( $P < 0.01$ ); 空白对照组、脂质体对照组、NC 对照组间比较差异无统计学意义 ( $P > 0.05$ ), 见图 3。



<sup>a</sup>:  $P < 0.01$ , 与 siDNA-PKcs 实验组比较。A: 流式细胞术检测细胞的凋亡; B: 各组细胞凋亡的半定量分析

图 3 siDNA-PKcs 影响细胞凋亡的流式分析

**2.5 Western blot 检测 Bax、Bcl-xL 蛋白表达情况** 当细胞转染 siDNA-PKcs 后, 检测结果显示 siDNA-PKcs 组 Bax 蛋白表达上调, Bcl-xL 蛋白表达下调, 与其余组比较差异有统计学意义 ( $P < 0.01$ ), 见图 4。



<sup>a</sup>: P<0.01, 与 siDNA-PKcs 实验组比较

图 4 siDNA-PKcs 影响 Bax、Bcl-xL 蛋白表达的分析 (Western blot)

### 3 讨 论

HCC 是常见的恶性肿瘤之一, 临床主要采用以手术为主的联合多种方法的综合治疗, 其中化疗对肿瘤的治疗具有重要的意义, 但化疗过程中容易形成MDR 而影响肿瘤的治疗效果。肿瘤耐药是一个多重因素综合作用的复杂过程, 如肿瘤细胞凋亡通路受阻<sup>[5]</sup>、DNA 损伤修复能力增强等。DNA-PKcs 是 DNA-PK 的催化亚单位, DNA-PKcs 有很多磷酸化位点, 可通过自身磷酸化或磷酸化下游分子参与细胞内的多种生物学活动, 包括参与双链断裂的 DNA 修复<sup>[6-7]</sup> 和细胞凋亡途径的信号传导等<sup>[8]</sup>。DNA-PKcs 在不同的细胞活动中发挥了不同的生物学功能。

在胃癌细胞中, 当抑制 PARP1 的活性时, 增加了 DDP 诱导的 DNA 损伤和细胞凋亡, 其机制是通过影响 DNA-PKcs 的稳定性, 从而减少 DNA 损伤修复的能力, 提高化疗敏感性<sup>[9]</sup>。HU 等<sup>[10]</sup>研究胰腺癌细胞发现, 抑制细胞 DNA-PKcs 的表达会增加细胞的化疗敏感性。当 DNA-PKcs 的功能缺失时, 将引起 A549 细胞 ATM 的激活和 p53 的反应, 进一步调控细胞周期<sup>[11]</sup>。DNA-PKcs 具有调节细胞凋亡的功能<sup>[12]</sup>。ZOU 等<sup>[13]</sup>报道发现, DNA-PKcs 与 Bcl-2 呈正相关。当 siRNA 沉默人肝癌 HepG2 中 DNA-PKcs 表达后, 激活 Caspase-3 和 p53, 同时下调 Bcl-2 和外源谷胱甘肽(GSH)的表达, 通过抑制磷酸肌醇-3 激酶/蛋白激酶 B/核因子-κB(PI3K/Akt/NF-κB)途径, 促进顺铂(DDP)和 5-Fu 联合应用引起的细胞凋亡及 DNA 损伤<sup>[14]</sup>。下调骨肉瘤细胞中 DNA-PKcs 表达后, 以增进凋亡<sup>[15]</sup> 和 G1 阻滞提高细胞对顺铂的敏感性<sup>[16]</sup>。以上研究结果提示 DNA-PKcs 可能通过对不同途径或凋亡通路中的分子进行调控, 从而影响不同肿瘤细胞的耐药性。本实验中, 当 HCC 耐药细胞 Bel7402/5-Fu 的 DNA-PKcs 表达沉默后, 形态学检

测结果显示, 细胞体积缩小, 染色质边聚, 呈亮蓝色, 这些形态学上的改变提示细胞出现凋亡现象。进一步用流式细胞术检测凋亡, 结果显示凋亡率增加。同时, 免疫印迹检测 Bax、Bcl-xL 蛋白表达水平, 结果显示 Bax 蛋白表达水平增加、Bcl-xL 蛋白表达水平减少, 提示沉默 DNA-PKcs 的表达能促进 HCC 耐药细胞 Bel7402/5-Fu 的细胞凋亡, 增加化疗敏感性。这说明 DNA-PKcs 可通过细胞某个凋亡途径影响肝癌细胞的耐药, 其机制可能与 siDNA-PKcs 上调 Bax 蛋白表达水平和下调 Bcl-xL 蛋白表达水平有关, 但具体的机制还需进一步的实验研究。

### 参 考 文 献

- [1] YAN J,ZHOU Y,CHEN D X,et al. Effects of mitochondrial translocation of telomerase on drug resistance in hepatocellular carcinoma cells[J]. J Cancer, 2015, 6(2): 151-159.
- [2] LIU X X,SUN C,JIN X D,et al. Genistein sensitizes sarcoma cells in vitro and in vivo by enhancing apoptosis and by inhibiting DSB repair pathways [J]. J Radiat Res, 2016, 57(3): 227-237.
- [3] 梁大敏, 束波, 杨加伟, 等. shRNA 沉默 DNA-PKcs 表达对肝癌耐药细胞 BEL7402/5-FU 耐药性的影响 [J]. 遵义医学院学报, 2014, 37(3): 304-307.
- [4] ZHANG Z H,FAN X Y,ZHAO Z T,et al. RNA interference targeting DNA-PKcs inhibits glioma cells malignancies and enhances temozolamide sensitivity[J]. Zhonghua Yi Xue Za Zhi, 2017, 97(31): 2463-2467.
- [5] 石迪. 肿瘤多药耐药的研究现状及进展 [J]. 黑龙江医药, 2014, 27(5): 1074-1076.
- [6] DONG J,ZHANG T,REN Y F,et al. Inhibiting DNA-PKcs in a non-homologous end-joining pathway in response to DNA double-strand breaks [J]. Oncotarget, 2017, 8(14): 22662-22673.
- [7] VAN OORSCHOT B,GRANATA G,DI FRANCO S,et al. Targeting DNA double Strand break repair with hyperthermia and DNA-PKcs inhibition to enhance the effect of radiation treatment [J]. Oncotarget, 2016, 7 (40): 65504-65513.
- [8] JIA L,LU X A,LIU G H,et al. Endostatin sensitizes p53-deficient non-small-cell lung cancer to genotoxic chemotherapy by targeting DNA-dependent protein kinase catalytic subunit [J]. J Pathol, 2017, 243 (2): 255-266.
- [9] WANG Q,XIONG J P, QIU D P, et al. Inhibition of PARP1 activity enhances chemotherapeutic efficiency in cisplatin-resistant gastric cancer cells [J]. Int J Biochem Cell Biol, 2017(92): 164-172.
- [10] HU H,HE Y,WANG Y D,et al. micorRNA-101 silences DNA-PKcs and sensitizes pancreatic cancer(下转第 3141 页)

- of Gynostemma pentaphyllum saponins by enhancing the Nrf2 signaling pathway in STZ-inducing diabetic rats[J]. Arch Pharm Res, 2016, 39(2): 221-230.
- [3] 李小英,肖新华.第 51 届欧洲糖尿病研究学会(EASD)年会热点聚焦[J].中华内分泌代谢杂志,2015,31(11): 1004-1006.
- [4] LI Y G, JI D F, ZHONG S, et al. Hypoglycemic effect of deoxynojirimycin-polysaccharide on high fat diet and streptozotocin-induced diabetic mice via regulation of hepatic glucose metabolism[J]. Chem Biol Interact, 2015, 225(6097): 70-79.
- [5] MA Y G, ZHANG Y B, BAI Y G, et al. Berberine alleviates the cerebrovascular contractility in streptozotocin-induced diabetic rats through modulation of intracellular  $\text{Ca}^{2+}$  handling in smooth muscle cells[J]. Cardiovasc Diabetol, 2016, 15(1): 63.
- [6] 吕娟,白甫,魏鹏飞.姬松茸多糖对糖尿病大鼠氧自由基及炎症相关因子的影响[J].贵州医药,2017,41(2): 139-140.
- [7] SEINO Y, KAKU K, INAGAKI N, et al. Fifty-two-week long-term clinical study of luseogliflozin as monotherapy in Japanese patients with type 2 diabetes mellitus inadequately controlled with diet and exercise[J]. Endocr J, 2015, 62(7): 593-603.
- [8] 王俊,于微,徐健,等.2型糖尿病患者脂代谢异常情况及血清载脂蛋白含量分析[J].卫生研究,2016,45(4): 587-592.
- [9] GHOLAMI M, HEMMATI M, TAHERI-GHAHFAROKHI A, et al. Expression of glucokinase, glucose 6-phosphatase, and stress protein in streptozotocin-induced diabetic rats treated with natural honey[J]. Int J Diabetes Dev Ctries, 2016, 36(1): 125-131.
- [10] Sabahi Z, Namadi S R, Moein M. Antidiabetic and synergistic effects study of anthocyanin fraction from berberis integerrima fruit on streptozotocin-induced diabetic rats model[J]. Trends Pharmacol Sci, 2016, 2(1): 43-50.
- [11] 张雪利. TNF- $\alpha$ 、PARP 及施万细胞凋亡在糖尿病痛性周围神经病变中的作用[J].医学综述,2015,21(23): 4317-4319.
- [12] DOMEKOOUO U L, LONGO F, TARKANG P A, et al. Evaluation of the antidiabetic and antioxidant properties of Morinda lucida stem bark extract in streptozotocin intoxicated rats[J]. Pak J Pharm Sci, 2016, 29(3): 903-911.
- [13] 李振,宋国华,肖强,等.高密度脂蛋白对脂肪细胞腺苷酸激活蛋白激酶的调节作用[J].生物化学与生物物理进展,2015,42(9): 804-809.
- [14] CHIS I C, COSERIU A, SIMEDREA R, et al. In vivo effects of quercetin in association with moderate exercise training in improving Streptozotocin-Induced aortic tissue injuries[J]. Molecules, 2015, 20(12): 21770-21786.
- [15] 曹荟哲,哈小琴,李雪雁,等.游离脂肪酸致胰岛素抵抗的分子机制[J].解放军医学杂志,2017,42(1): 81-85.

(收稿日期:2018-02-11 修回日期:2018-05-25)

(上接第 3137 页)

- cells to gemcitabine[J]. Biochem Biophys Res Commun, 2017, 483(1): 725-731.
- [11] FINZEL A, GRYBOWSKI A, STRASEN J, et al. Hyperactivation of ATM upon DNA-PKcs inhibition modulates p53 dynamics and cell fate in response to DNA damage [J]. Mol Biol Cell, 2016, 27(15): 2360-2367.
- [12] CALLÉN E, JANKOVIC M, WONG N, et al. Essential role for DNA-PKcs in DNA double-strand break repair and apoptosis in ATM-deficient lymphocytes [J]. Mol Cell, 2009, 34(3): 285-297.
- [13] ZOU K, LIU C G, ZHANG Z, et al. The effect of elemene on lung adenocarcinoma A549 cell radiosensitivity and elucidation of its mechanism[J]. Clinics, 2015, 70(8): 556-562.

- [14] FANG Y, CHAI Z T, WANG D S, et al. DNA-PKcs deficiency sensitizes the human hepatoma HepG2 cells to cisplatin and 5-fluorouracil through suppression of the PI3K/Akt/NF- $\kappa$ B pathway[J]. Mol Cell Biochem, 2015, 399(1/2): 269-278.
- [15] YF Z, LI S T, ZHU Y R, et al. Identification of DNA-PKcs as a primary resistance factor of salinomycin in osteosarcoma cells[J]. Oncotarget, 2016, 7(48): 79417-79427.
- [16] LI X, TIAN J G, BO Q Y, et al. Targeting DNA-PKcs increased anticancer drug sensitivity by suppressing DNA damage repair in osteosarcoma cell line MG63 [J]. Tumour Biol, 2015, 36(12): 9365-9372.

(收稿日期:2018-02-15 修回日期:2018-05-10)